

НАЦИОНАЛЬНЫЙ ИССЛЕДОВАТЕЛЬСКИЙ ЯДЕРНЫЙ
УНИВЕРСИТЕТ «МИФИ»

ГРАВИТАЦИОННАЯ ДИНАМИКА КЛАСТЕРА ПЕРВИЧНЫХ ЧЕРНЫХ ДЫР

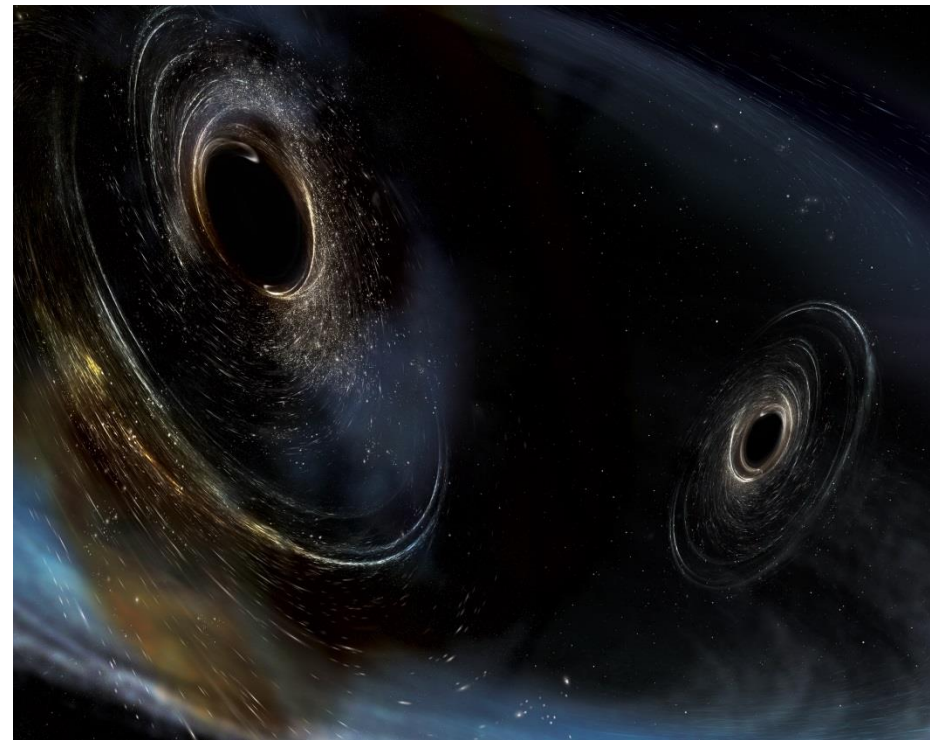
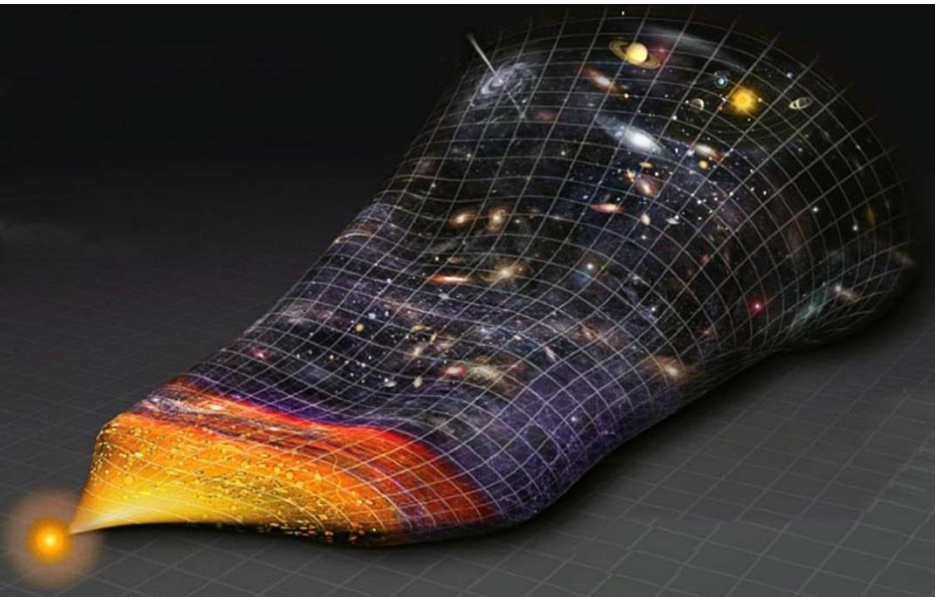
Выпускная квалификационная работа

Выполнил:
студент группы Б13-401
Лунов М.М.
Научный руководитель
к.ф.-м.н., доц. каф. 40:
Кириллов А.А.

г. Москва
2017

ПЕРВИЧНЫЕ ЧЁРНЫЕ ДЫРЫ (ПЧД)

ПЧД - гипотетический тип чёрной дыры, которая образовывалась не за счёт гравитационного коллапса крупной звезды, а в сверхплотной материи в момент начального расширения Вселенной.



ПЕРВИЧНЫЕ ЧЁРНЫЕ ДЫРЫ (ПЧД)

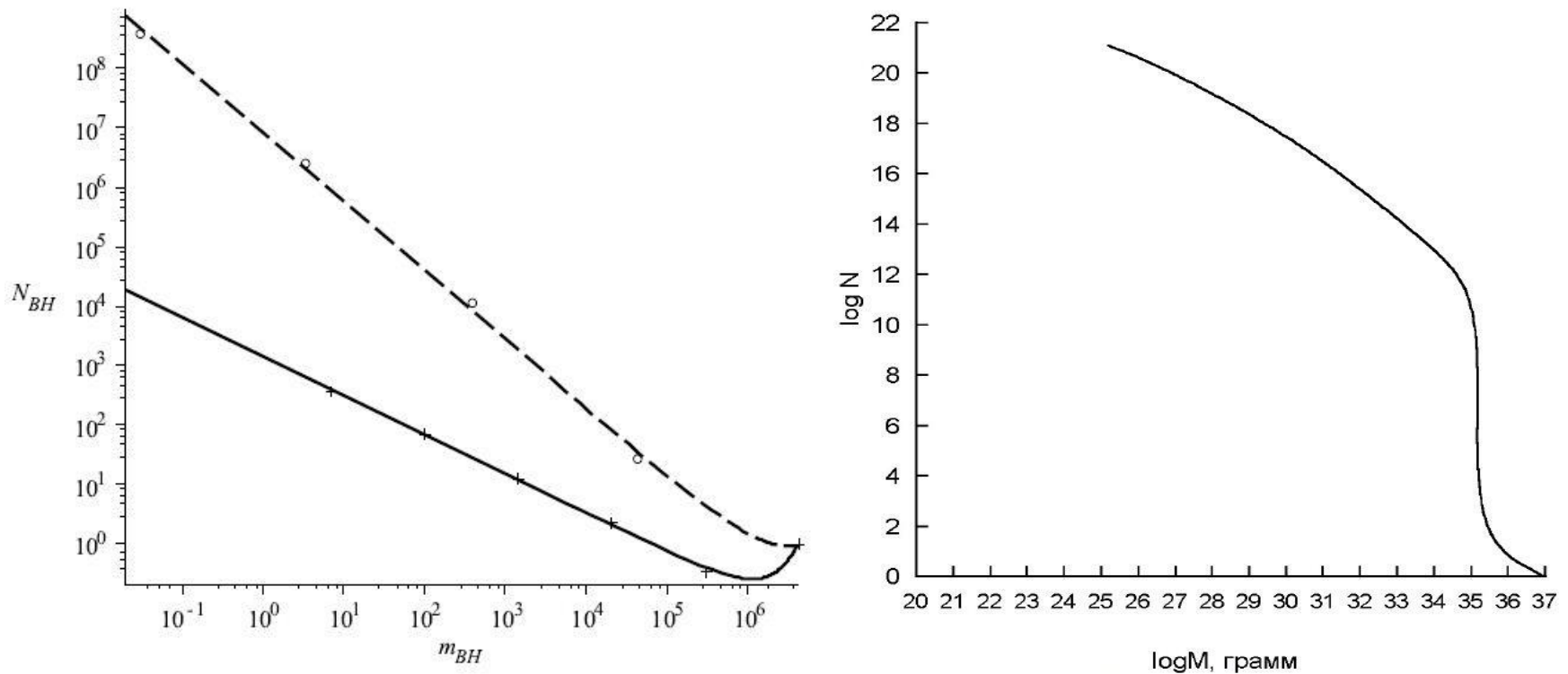


Рис.1. Типичные массовые спектры ПЧД в различных диапазонах (на рис. слева $m_{BH} = M/M_{\odot}$) [Рисунок слева взят из[1], справа из[2]]

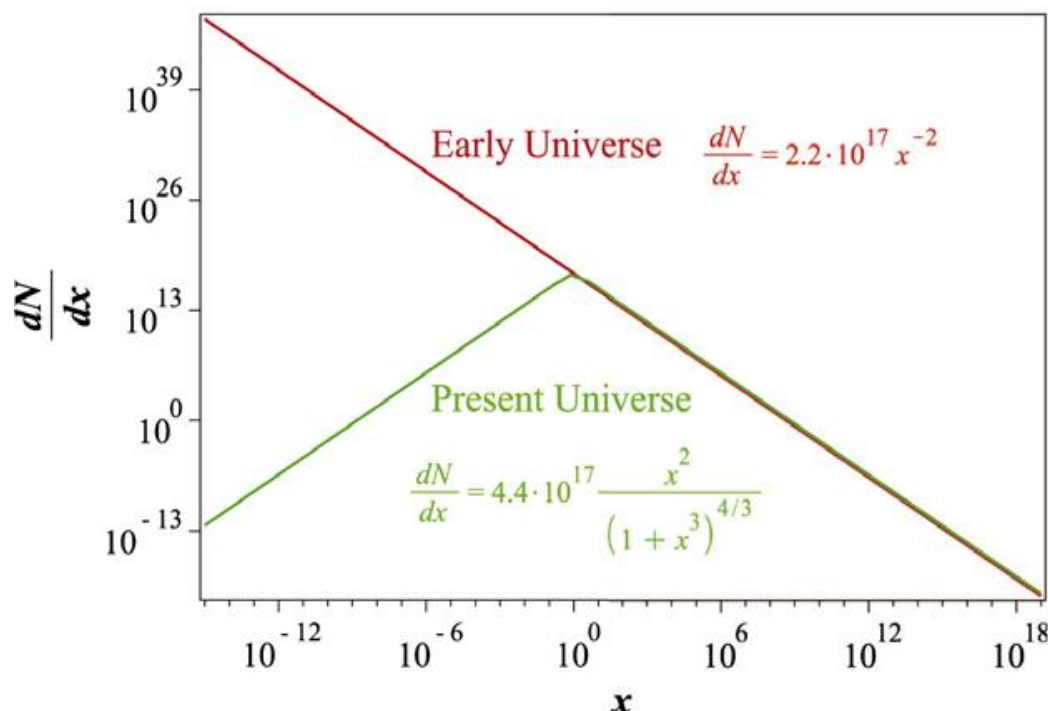
ПРЕИМУЩЕСТВО МОДЕЛИ РОЖДЕНИЯ КЛАСТЕРА ПЧД

Позволяет объяснить:

- появление квазаров в ранней Вселенной при больших красных смещениях $z > 6$ [Grav. Cosmol. 11 (2005) 99–104];
- природу скрытой массы (тёмной материи) [Mod. Phys. Lett. A 29 (2014)];
- причину возникновения реионизации во Вселенной [JCAP 01 (2015) 041];
- недавние случаи слияния ЧД, зарегистрированные с помощью гравитационных волн эксперимента LIGO [Phys. Rev. Lett. 116 (2016)];
- природу неидентифицированных точечных источников гамма-излучения, обнаруженных в большом количестве космическими гамма-телескопами CGRO EGRET и Fermi/LAT [Astropart. Phys. 35 (2011) 28–32].

ИЗУЧАЕМАЯ ПРОБЛЕМА

ГЛАВНАЯ ЗАДАЧА: рассмотреть качественно динамическую устойчивость кластера ПЧД [см. пункт 1) и 2)]



ЧТО БЫЛО ИЗУЧЕНО - вопрос спектра масс ПЧД за счёт хокинговского испарения

ЧТО НЕ ИЗУЧЕНО ???

- изменение спектра масс в результате эволюции системы ПЧД: 1)слияния ПЧД и 2)возможного их вылета из кластера

Рис. 2. Изменение массового распределения первичных черных дыр в кластере за счет излучения Хокинга, $x = M/10^{15}$ г . [рисунок взят из [3]]

СПОСОБ РЕАЛИЗАЦИИ ЗАДАЧИ

Существуют 2 подхода при изучении динамики
многочастичных гравитирующих объектов:

построение и
последующее решение
эволюционных
кинетических уравнений

моделирование
взаимодействия N-
тел

При моделировании
использовались
следующие
приближения:

время слияния ЧД,
зафиксированное в
экспериментах LIGO и
Virgo [Phys. Rev. Lett.
118 (2017) 221101],
меньше 1 секунды, а
потери энергии на
гравитационное
излучение составляет ~
5% !

абсолютно
неупругое
столкновение
ПЧД*

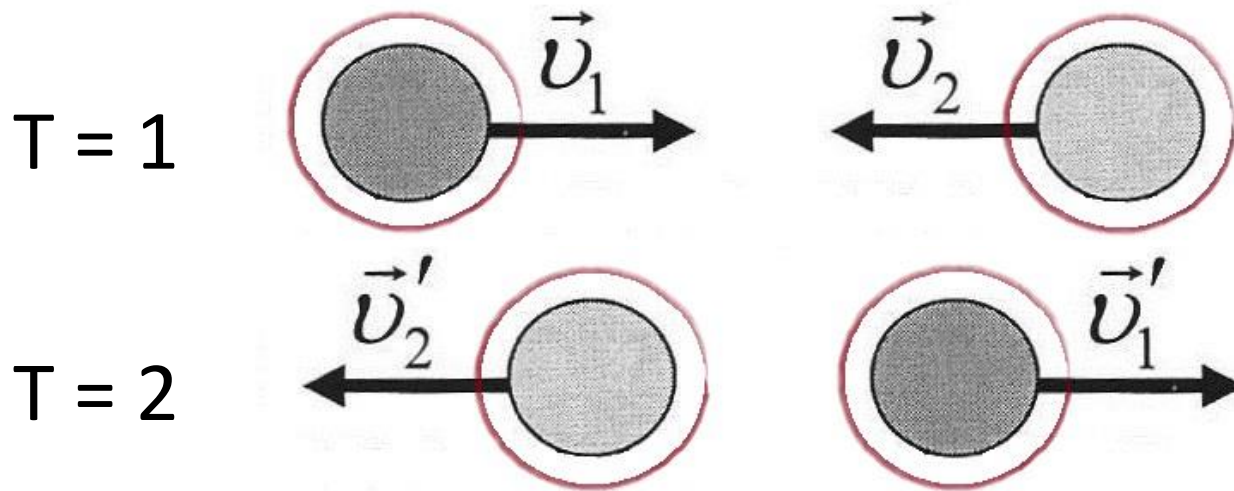
в законах сохранения
не учитывается
потеря энергии на
излучение
гравитационных волн

не учитывается
собственное
вращение ЧД

*при их сближении на расстояние ближе суммы $3r_g$ (3-х шварцшильдовских радиусов)
[Л.Д. Ландау, Е.М. Лифшиц. Теор. физика: Т II. Теория поля. (2003) 414–421].

ПРОБЛЕМЫ РЕАЛИЗАЦИИ


1. интегрирование уравнений движения вблизи точки столкновения приводит к приобретению телами нефизичных ускорений, что при недостаточно малом временном шаге T приводит к разлету тел;
2. время, необходимое для расчета силы, растёт как $\frac{N(N-1)}{2} \sim \frac{N^2}{2}$ (где N – число тел).



Вместо того чтобы слиться в одно тело они пролетают “сквозь” друг друга

СХЕМА АХМАДА-КОЭНА

Данная схема предлагает разделить силу, действующую на каждое тело, на **регулярную** (от далёких тел) и **иррегулярную** (от близких тел) составляющие. Соответственно, регулярную силу можно вычислять с гораздо большим шагом, чем иррегулярную.

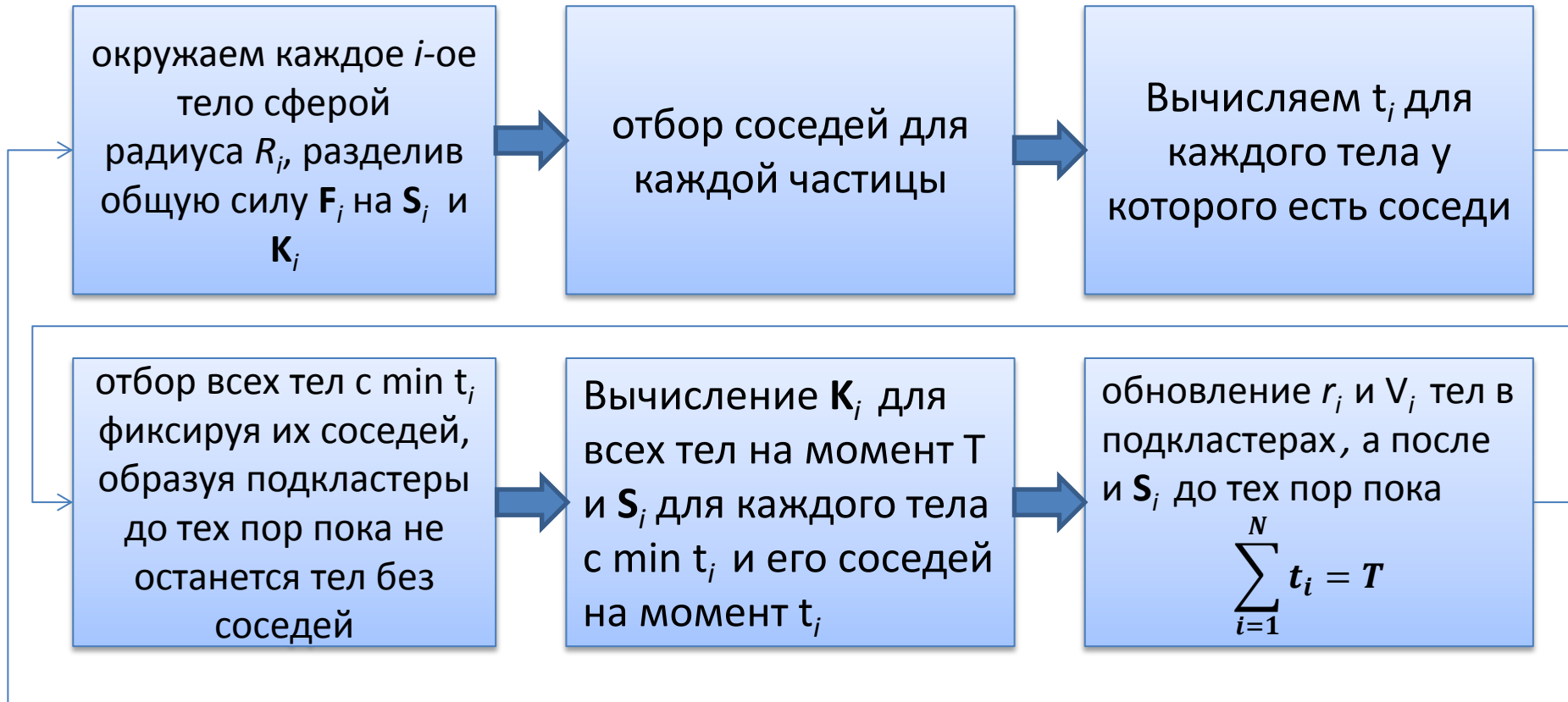


**ПЛЮСЫ
СХЕМЫ:**

- Существенно ускоряет процесс вычислений.
- Устраняет проблему разлета частиц.

НЕ ВСЕ ТЕЛА В СИСТЕМЕ ФАКТИЧЕСКИ НЕБХОДИМЫ НА КАЖДОМ ВРЕМЕННОМ ШАГЕ ДЛЯ ПЕРЕРАСЧЕТА СИЛЫ НА КОНКРЕТНО РАССМАТРИВАЕМОМ ТЕЛЕ

ПРИНЦИП РАБОТЫ СХЕМЫ



S_i – иррегулярная сила - является суммой сил от тел-соседей в пределах R_i
 t_i – иррегулярный шаг времени

K_i – регулярная сила - сумма сил от тел остальной части системы
 T – регулярный шаг времени

ЧИСЛЕННЫЕ РАСЧЁТЫ

ЭФФЕКТЫ ОТО ПРОЯВЛЯЮТСЯ НА РАССТОЯНИЯХ $< 3r_g$: $\frac{\mathbf{F}_E}{\mathbf{F}_N} \propto \left(\frac{v}{c}\right)^2 - [*]$

(\mathbf{F}_E — сила, создаваемая поправками ОТО, \mathbf{F}_N — ньютоновская сила.)

\mathbf{F}_E становится существенным при достижении скоростей ЧД порядка c , что происходит при $\mathbf{r}_{ij} \rightarrow r_g$

на расстояниях больше чем $3r_g$ эволюция системы N гравитирующих тел описывается следующей системой уравнений:

$$\mathbf{a}_i = G \sum_{j=1, j \neq i}^N \frac{m_j}{|\mathbf{r}_j - \mathbf{r}_i|^3} (\mathbf{r}_j - \mathbf{r}_i),$$

$$\mathbf{r}_i(T_{n+1}) = \mathbf{r}_i(T_n) + \mathbf{v}_i(T_n)(\Delta T) + \frac{1}{2} \frac{\mathbf{F}_i(T_n)}{m_i} (\Delta T)^2 + \sum_{k=1}^3 \frac{\mathbf{F}_i^{(k)}(T_n)(\Delta T)^{k+2}}{m_i(k+2)!},$$

$$\mathbf{v}_i(T_{n+1}) = \mathbf{v}_i(T_n) + \frac{\mathbf{F}_i(T_n)}{m_i} (\Delta T) + \sum_{k=1}^3 \frac{\mathbf{F}_i^{(k)}(T_n)(\Delta T)^{k+1}}{m_i(k+1)!},$$

$$\Delta T = T_{n+1} - T_n.$$

[*] - Владимиров Ю.С. Классическая теория гравитации: (2009) 264 с.

ЧИСЛЕННЫЕ РАСЧЁТЫ

Полином силы определяется как:

$$\begin{aligned}\mathbf{F}_i(T_{n+1}) = & \mathbf{F}_i(T_n) + \mathbf{D}[T_n, T_{n-1}](T_{n+1} - T_n) \\ & + \mathbf{D}^2[T_n, T_{n-2}](T_{n+1} - T_n)(T_{n+1} - T_{n-1}) \\ & + \mathbf{D}^3[T_n, T_{n-3}](T_{n+1} - T_n)(T_{n+1} - T_{n-1})(T_{n+1} - T_{n-2})\end{aligned}$$

T_n, T_{n-1}, T_{n-2} , – моменты времени последних трёх точных расчетов силы.

Разделенные разности определяются следующим образом:

$$\begin{aligned}\mathbf{D}[T_n, T_{n-1}] &= \frac{\mathbf{F}_i(T_n) - \mathbf{F}_i(T_{n-1})}{T_n - T_{n-1}} \\ \mathbf{D}^2[T_n, T_{n-2}] &= \frac{\mathbf{D}[T_n, T_{n-1}] - \mathbf{D}[T_{n-1}, T_{n-2}]}{T_n - T_{n-2}} \\ \mathbf{D}^3[T_n, T_{n-3}] &= \frac{\mathbf{D}^2[T_n, T_{n-2}] - \mathbf{D}^2[T_{n-1}, T_{n-3}]}{T_n - T_{n-3}}\end{aligned}$$

ЧИСЛЕННЫЕ РАСЧЁТЫ

Сравнивая с разложением силы в ряд Тейлора

$$\mathbf{F}_i(T_{n+1}) = \mathbf{F}_i(T_n) + \sum_{k=1}^3 \mathbf{F}^{(k)} \frac{(T_{n+1} - T_n)^k}{k!}$$

получим производные от силы в терминах разделенных разностей

$$\mathbf{F}^{(1)} = \mathbf{D}[T_n, T_{n-1}] + T_1' \mathbf{D}^2[T_n, T_{n-2}] + T_1' T_2' \mathbf{D}^3[T_n, T_{n-3}]$$

$$\mathbf{F}^{(2)} = 2! \{ \mathbf{D}^2[T_n, T_{n-2}] + (T_1' + T_2') \mathbf{D}^3[T_n, T_{n-3}] \}$$

$$\mathbf{F}^{(3)} = 3! \mathbf{D}^3[T_n, T_{n-3}]$$

где $T_k' = T_n - T_{n-k}$, для $k = 1, 2, 3$.

КРИТЕРИЙ ОБРАЗОВАНИЯ СТАБИЛЬНОГО КЛАСТЕРА

Соотношение для характерного времени изменения количества ЧД в кластере:

$$\tau_{\text{хар}} = \left(\frac{N_i}{\dot{N}_i} \right)_k > t_{\text{с.в.}}$$

где:

- $t_{\text{с.в.}} \approx 14$ млрд лет – время жизни современной Вселенной;
- k – число временных шагов;
- N_i – число ЧД в i -й момент времени;
- \dot{N}_i – скорость изменения количества ЧД от времени:

$$\dot{N}_i = \frac{N_i - N_{i-k}}{k\Delta T}$$

При уменьшении $\dot{N}_i \rightarrow 0$, $\tau_{\text{хар}} \rightarrow \infty$ (см. рис.3-4), и, соответственно, будет превышать $t_{\text{с.в.}}$, что говорит о том, что формирование кластера произошло.

РЕЗУЛЬТАТЫ

$$N = 50$$

РЕЗУЛЬТАТЫ

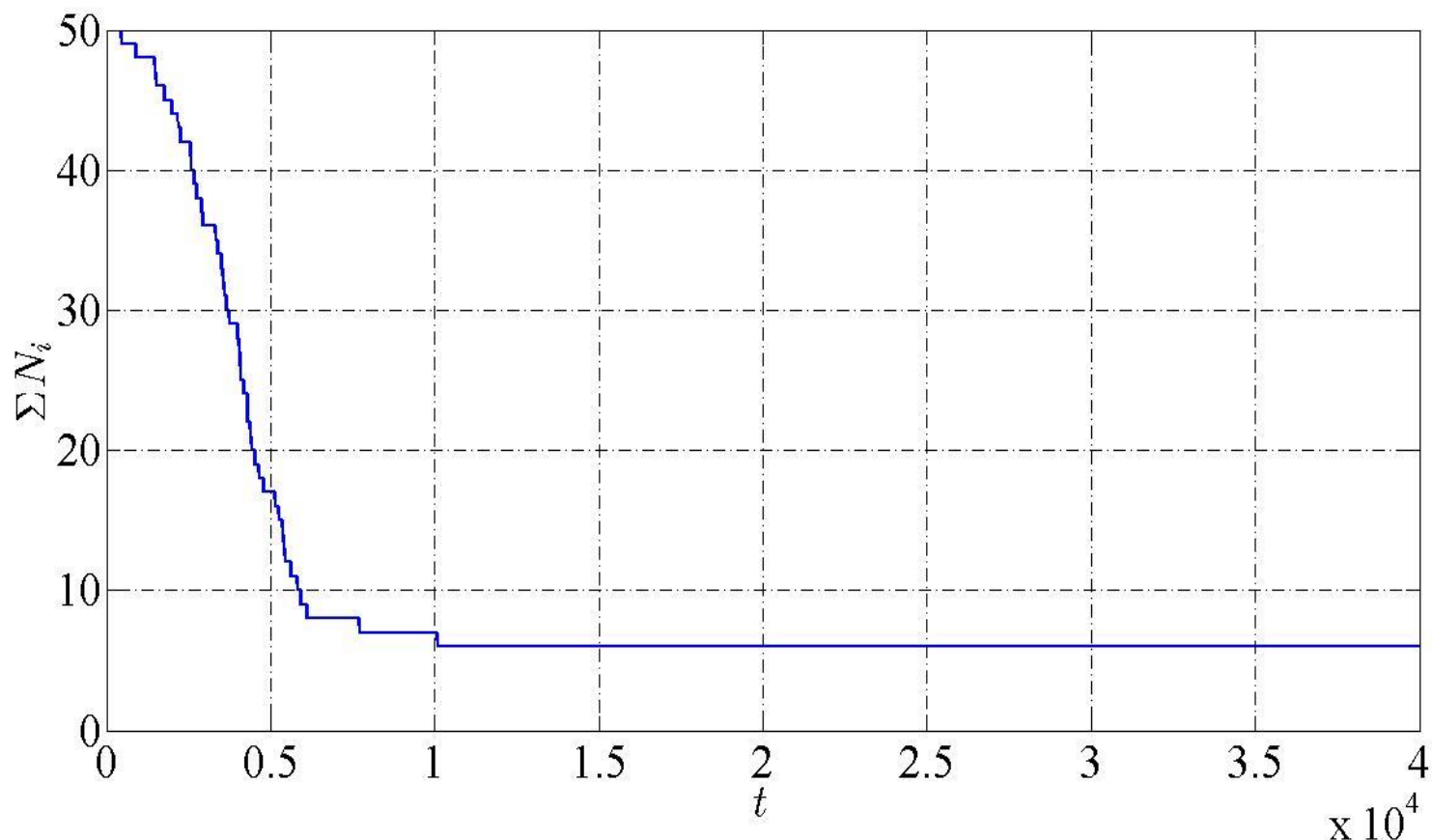


Рис.3. Изменение числа ПЧД в кластере в зависимости от времени (Для 50 ПЧД в кластере радиуса 10^{-5} [пк] с массой центральной ЧД $10^6 [M_{\odot}]$)

РЕЗУЛЬТАТЫ

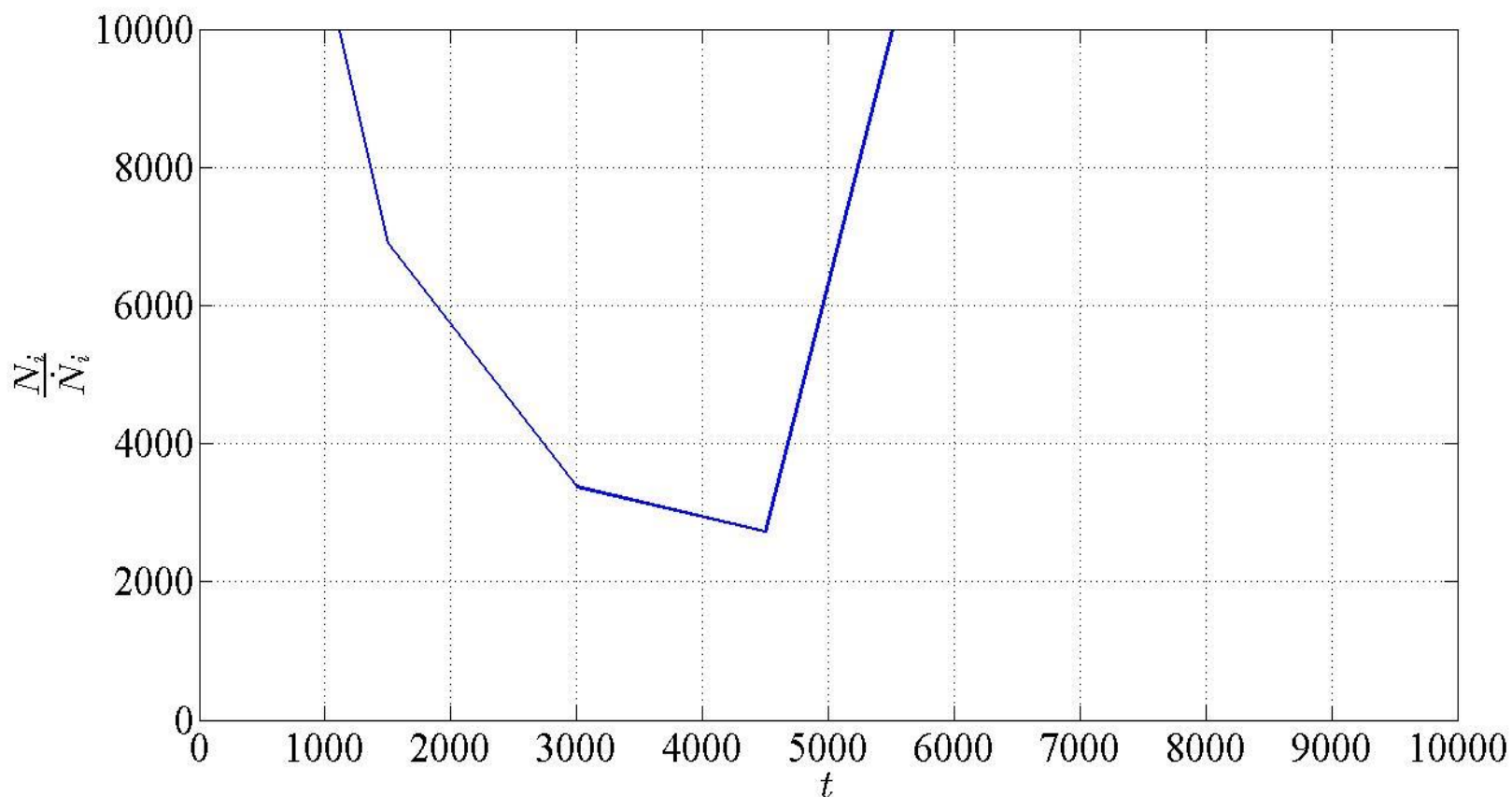


Рис.4. Изменение $\tau_{\text{хар}}$ ЧД в кластере в зависимости от времени (Для 50 ПЧД в кластере радиуса 10^{-5} [пк] с массой центральной ЧД $10^6 [M_{\odot}]$)

РЕЗУЛЬТАТЫ

В зависимости от начальных параметров было оценено время образования стабильного кластера*:

$M_1 [M_{\odot}]$	$\sum_{i=1}^N M_i [M_{\odot}]$	$R [\text{пк}]$	$\tau_{\text{хар}} [\text{с}]$	N
10^6	2.0e6	10^{-5}	<15000	50
10^5	2.0e5	10^{-5}	<35000	50
10^4	2.0e4	10^{-5}	<80000	50

*В таблице приведены усредненные данные по полученным результатам.

$M_1 [M_{\odot}]$ – масса центральной ПЧД

$R [\text{пк}]$ – радиус кластера

$\sum_{i=1}^N M_i [M_{\odot}]$ – суммарная масса
кластера ПЧД

$\tau_{\text{хар}} [\text{с}]$ – среднее время образования
стабильного кластера

N – число ПЧД

ЗАКЛЮЧЕНИЕ

- ❑ образование кластера имеет однотипный характер (образуются центральная массивная ЧД, поглощающей основную часть маломассивных ЧД, и черные дыры промежуточных масс обращающихся вокруг неё);
- ❑ для всех рассматриваемых случаев время образования кластера не превышает 2-х дней;
- ❑ вылет в результате многочастичного взаимодействия оказывается не существенным для разыгранного числа частиц.

ПРИЛОЖЕНИЕ

ЧИСЛЕННЫЕ РАСЧЁТЫ

Для того чтобы перейти к 3-мерной картине требуется ввести зенитный и азимутальный углы:

$$\begin{cases} \varphi^n = \tan^{-1} \left| \frac{\mathbf{y}_j^n - \mathbf{y}_i^n}{\mathbf{x}_j^n - \mathbf{x}_i^n} \right|, \\ \theta^n = \tan^{-1} \left| \frac{\mathbf{z}_j^n - \mathbf{z}_i^n}{\sqrt{(\mathbf{x}_j^n - \mathbf{x}_i^n)^2 + (\mathbf{y}_j^n - \mathbf{y}_i^n)^2}} \right|. \end{cases}$$

после чего получаем для ускорения, спроецировав на оси координат, такую систему разностных по времени уравнений:

$$\begin{cases} \mathbf{a}_{xi}^n = G \sum_{j=1, j \neq i}^N \frac{m_j}{|\mathbf{r}_{ij}^n|^2} \cos \theta^n \cos \varphi^n, \\ \mathbf{a}_{yi}^n = G \sum_{j=1, j \neq i}^N \frac{m_j}{|\mathbf{r}_{ij}^n|^2} \cos \theta^n \sin \varphi^n, \\ \mathbf{a}_{zi}^n = G \sum_{j=1, j \neq i}^N \frac{m_j}{|\mathbf{r}_{ij}^n|^2} \sin \theta^n. \end{cases}$$

ЧИСЛЕННЫЕ РАСЧЁТЫ

Эволюция системы N гравитирующих тел описывается следующей системой уравнений:

$$\mathbf{a}_i = G \sum_{j=1, j \neq i}^N \frac{m_j}{|\mathbf{r}_j - \mathbf{r}_i|^3} (\mathbf{r}_j - \mathbf{r}_i)$$

$$\mathbf{r}_i(T_{n+1}) = \mathbf{r}_i(T_n) + \mathbf{v}_i(T_n)(\Delta T) + \frac{1}{2} \frac{\mathbf{F}_i(T_n)}{m_i} (\Delta T)^2 + \sum_{k=1}^3 \frac{\mathbf{F}_i^{(k)}(T_n)(\Delta T)^{k+2}}{m_i(k+2)!}$$

$$\mathbf{v}_i(T_{n+1}) = \mathbf{v}_i(T_n) + \frac{\mathbf{F}_i(T_n)}{m_i} (\Delta T) + \sum_{k=1}^3 \frac{\mathbf{F}_i^{(k)}(T_n)(\Delta T)^{k+1}}{m_i(k+1)!}$$

В случае абсолютно неупругого столкновения:

$$\mathbf{v}_i^{n+1} = \frac{\sum_{i=1}^k m_i^n \mathbf{v}_i^n}{\sum_{i=1}^k m_i^n} \quad \mathbf{r}_i^{n+1} = \frac{\sum_{i=1}^k m_i^n \mathbf{r}_i^n}{\sum_{i=1}^k m_i^n} \quad m_i^{n+1} = \sum_{i=1}^k m_i^n$$